

Тема на самостійне вивчення студентів

МОДЕЛІ ЕЛЕКТРОННИХ КОМПОНЕНТІВ

План

1. Вступ
2. Моделі напівпровідникових діодів
3. Моделі біполярних транзисторів
4. Моделі МОП-транзисторів
5. Модель тиристора
6. Моделі пасивних компонентів
7. Макромоделі операційних підсилювачів
8. Висновки
9. Додатки

1. Вступ

Електронні компоненти в програмах комп'ютерного моделювання представляються у вигляді схем заміщення або моделей. Достовірність результатів моделювання залежить від того, наскільки точно модель враховує характеристики реального електронного приладу. Зрозуміло, не можна за допомогою програми комп'ютерного моделювання дослідити результат дії будь-якого ефекту, властивого електронному приладу, якщо цей ефект не враховується в його моделі.

Розглянемо моделі елементів, які використовуються в програмах схемотехнічного моделювання. Слід підкреслити, що ці моделі розроблялися відповідно до програми SPICE, тому їх часто називають SPICE-моделями. Створення таких моделей було тривалим процесом, в якому брало участь безліч висококваліфікованих фахівців. SPICE має вбудовані моделі для більшості електронних компонентів: діодів, біполярних транзисторів, польових транзисторів з керуючим р-п-переходом, МОП-транзисторів, ліній передачі з розподіленими параметрами, пов'язаних індуктивних катушок і т.д. Analogovi інтегральні схеми, такі як операційні підсилювачі або компаратори, представляються підсхемами, які називають макромоделі.

2. Моделі напівпровідникових діодів

Нелінійна модель діода, що використовується в SPICE, показана на рис. 7.1. Статична характеристика діода моделюється джерелом I_0 , струм якого змінюється по закону

$$I_D = I_0 \left(e^{U_D/nV_t} - 1 \right).$$

Тут V_t - температурний потенціал р-п-перехода. Додатковий параметр n називається коефіцієнтом емісії. Для більшості діодів $n = 1$.

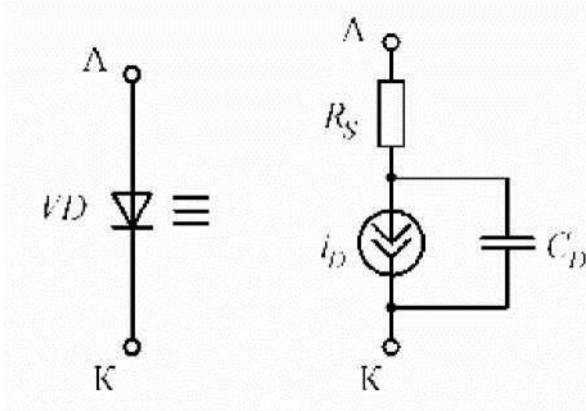


Рис. 7.1

Динамічні характеристики діода враховує нелінійний ємісний елемент C_a . Ємність C_a рівна сумі дифузійної ємності C_d і ємності переходу C_J :

$$C_a = C_d + C_J.$$

Резистор $K5$ враховує об'ємний опір області бази і емітера. Для малопотужних діодів його величина становить кілька Ом.

Параметри моделі діода наведені в Додатку 7.1. Крім позначення параметра і його імені в моделі SPICE в таблицях приводиться його значення за замовчуванням, яке використовується моделлю програмою в тому випадку, якщо параметр не задається явно.

Список параметрів моделі діода, що міститься у Додатку 7.1, є неповним. Для стисливості наведені тільки найбільш істотні з них. Повний опис моделей компонентів, а також формули для розрахунку параметрів наведені в [1].

При розрахунку частотних характеристик використовується лінеаризоване схема заміщення діода, показана на рис. 7.2.

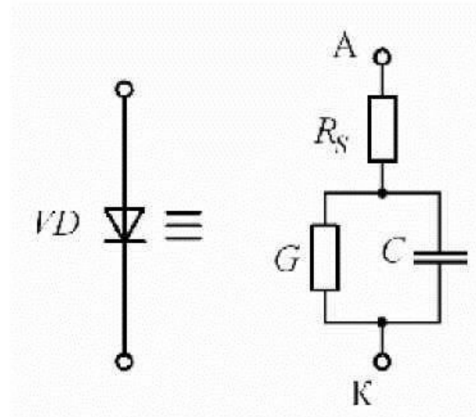


Рис. 7.2

В лінеаризованій схемі заміщення G - диференційна провідність ВАХ діода в межах робочої точки, C - диференційна ємність.

3. Моделі біполярного транзистора

Найбільш відомою моделлю біполярного транзистора є модель Еберса-Молла. Найпростіший варіант цієї моделі, званий інжекційним,

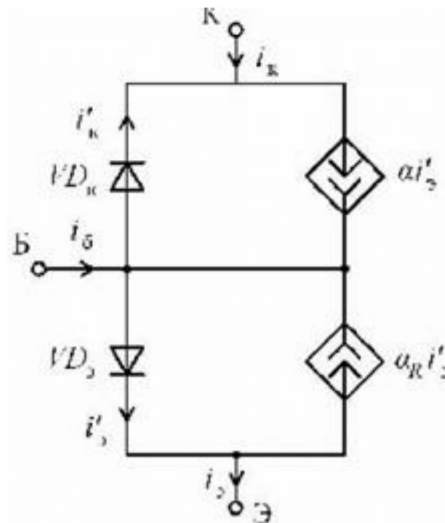


Рис. 7.3

показаний на рис. 7.3.

На рис. 7.3 α - коефіцієнт передачі струму емітера в активному режимі, α_R - коефіцієнт передачі колекторного струму в інверсному режимі. Модель Еберса-Молла дозволяє аналізувати біполярний транзистор в будь-якому з чотирьох режимів: активному, насилення,

інверсному і відсічки. Щоб показати це, запишемо рівняння для струмів емітера, бази і колектора. Для схеми на рис. 7.3 справедливі рівняння

$$i_s = i'_s - \alpha_R i'_k; \quad (7.1)$$

$$i_k = -i'_s + \alpha i'_k; \quad (7.2)$$

$$i_b = (1 - \alpha) i'_s + (1 - \alpha_R) i'_k. \quad (7.3)$$

Токи диодов в схеме на рис. 7.3:

$$i'_s = I_{s0} (e^{U_{bs}/V_T} - 1);$$

$$i'_k = I_{k0} (e^{U_{ek}/V_T} - 1).$$

Підставляючи останні рівності в рівняння (7.1) - (7.3), отримаємо вирази для струмів електродів транзистора:

$$i_s = \frac{I_0}{\alpha} (e^{U_{bs}/V_T} - 1) - I_0 (e^{U_{ek}/V_T} - 1). \quad (7.4)$$

$$i_k = I_0 (e^{U_{bs}/V_T} - 1) - \frac{I_0}{\alpha_R} (e^{U_{ek}/V_T} - 1) \quad (7.5)$$

$$i_b = \frac{I_0}{\beta} (e^{U_{bs}/V_T} - 1) + \frac{I_0}{\beta_R} (e^{U_{ek}/V_T} - 1) \quad (7.6)$$

Тут

Інша форма моделі Еберса-Молла показана на рис. 7.4. Її називають передаточною

$$\beta_F = \frac{\alpha_F}{1 - \alpha_F}.$$

$$\beta_R = \frac{\alpha_R}{1 - \alpha_R}.$$

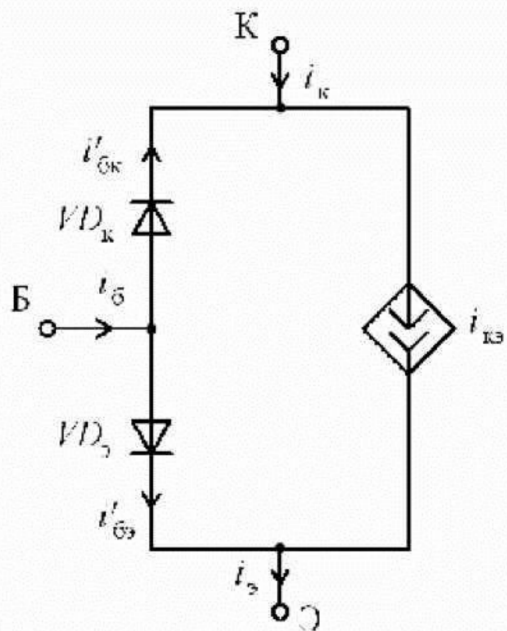


Рис. 7.4

В схемі на рис. 7.4

$$i'_{\delta K} = \frac{I_0}{\beta_R} \left(e^{U_{BK}/V_T} - 1 \right);$$

$$i'_{\delta E} = \frac{I_0}{\beta} \left(e^{U_{BE}/V_T} - 1 \right).$$

Струм керованого джерела

$$i_{\text{кз}} = I_0 \left(e^{U_{E3}/V_T} - e^{U_{EE}/V_T} \right)$$

Схеми заміщення, показані на рис. 7.3 і 7.4, характеризують тільки активну область транзистора. Модель, показана на рис. 7.5, доповнена резисторами, які враховують опір пасивних областей бази і колектора. Компоненти $C_{\delta K}$ і $C_{\delta E}$ враховують ємності колекторного і емітерного переходів.

Модель Еберса-Молла не враховує деякі ефекти, які спостерігаються в реальних приладах. Один з таких ефектів - залежність коефіцієнтів посилення струму β_R і β_F від величини струму колектора. Такі ефекти враховує більш точна (хоча і більш складна) модель Гуммеля- Пуна.

Вибір моделі біполярного транзистора здійснюється в SPICE автоматично. Модель Гуммеля-Пуна спрощується до моделі Еберса-Молла, якщо явно не заданий ряд параметрів.

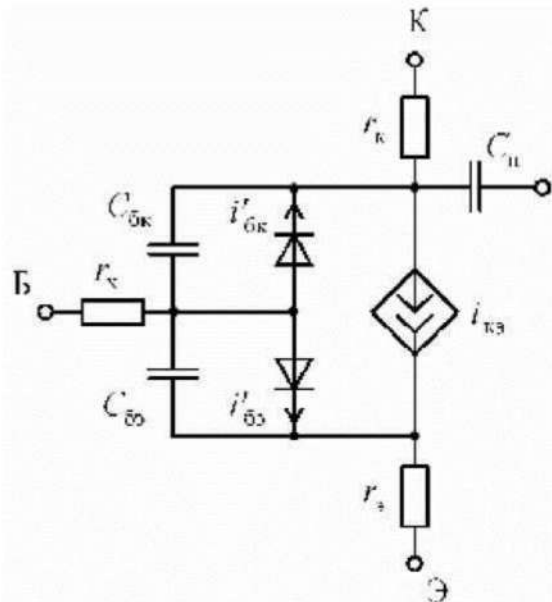


Рис. 7.5

Список основних параметрів моделі біполярного транзистора наведено в Додатку 7.2. Відзначимо, що в Додатку 7.2 приведена тільки частину параметрів моделі. Повний список параметрів можна знайти в [1].

У тому випадку, якщо деякі параметри не задані користувачем, SPICE використовує значення, що задаються за умовчанням. Наприклад, якщо напруга Ерлі явно не задано, SPICE приймає значення цього параметра рівним нескінченності: $VAF = \infty$.

Як приклад в табл. 7.3 Додатки 7.2 наведені параметри транзистора Q2N3904, модель якого можна знайти в бібліотеці EVAL.lib.

Лінійна схема заміщення біполярного транзистора, використовувана для аналізу в режимі малого сигналу, показана на рис. 7.6.

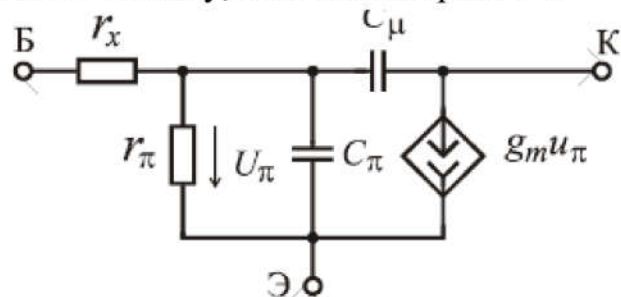


Рис. 7.6

Резистор r_x враховує опір базового шару. Величина цього опору залежить від типу транзистора і положення робочої точки і може змінюватися від одиниць до декількох десятків ом. конденсатор C_u

враховує ємність зміщеного в зворотному напрямку колекторного переходу. Конденсатор C_π враховує ємність, пов'язану з накопиченням неосновних носіїв в базі, і ємність, обумовлену просторовим зарядом в області емітерного переходу. У більшості випадків C_π становить від декількох пікофарад до декількох десятків. Ємність C_u не перевищує декількох пікофарад..

3. Моделі МОН-транзисторів

МОН-транзистор є основним елементом сучасних інтегральних схем. Для SPICE розроблені кілька моделей МОН транзисторів різного рівня складності. Ці моделі вибираються по параметру LEVEL (рівень). Найпростішою є модель Шіхмана-Ходжеса, заснована на використанні квадратичних рівнянь (LEVEL = 1). Її доцільно використовувати в тих випадках, коли до точності моделювання не пред'являються високі вимоги. Модель Шіхмана-Ходжес дає задовільні результати при аналізі ланцюгів з МОП транзисторами, мають довжину каналу $L > 1 \text{ мкм}$. Список основних параметрів моделі першого рівня наведено в Додатку 7.3.

Повний список параметрів моделі МОН-транзистора наведено в [1]. Модель першого рівня використовується за умовчанням, коли параметр моделі (LEVEL) не вказано. Відзначимо основні особливості цієї моделі:

- Найменший час обчислення завдяки простоті рівнянь;
- Не враховується залежність рухливості носіїв від напруженості електричного поля;
- Не розглядається предпороговий режим;
- Все ємності розраховуються за спрощеними формулами.

Модель другого рівня (LEVEL = 2) заснована на більш точних аналітичних виразах. Модель третього рівня (LEVEL = 3) є напівемпіричною і використовує поєднання емпіричних і аналітичних виразів. Для їх визначення використовуються результати вимірювання характеристик реальних приладів.

Моделі другого і третього рівня враховують ефекти другого порядку, такі як модуляція довжини каналу. Модель третього рівня доцільно використовувати при аналізі ланцюгів з потужними МОН транзисторами вертикальної структури.

Перераховані моделі не враховують фізичні ефекти, які мають важливе значення в приладах субмікронних розмірів. Найбільш істотним є

ефект насичення швидкості, який приводить до того, що залежність струму стоку від напруги затвор-витік стає квадратичною, а лінійної. Крім того, при малих робочих напругах необхідно враховувати ефект предпорогової провідності, що полягає в тому, що струм транзистора відрізняється від нуля навіть в тому випадку, коли напруга затвор-витік стає менше порогового. Ці ефекти враховуються в моделях BSIM1 і BSIM2, розроблених в Каліфорнійському університеті в Берклі. Назва моделей походить від англійського Berkley Short-Chanel IGFET Model - Берклівська модель короткоканального транзистора з ізольованим затвором. Ці моделі мають індекс LEVEL = 4 і LEVEL = 5 відповідно. Параметри моделей визначаються спеціальною програмою за вихідними даними, що задається користувачем, а потім конвертується в формат SPICE. Слід зазначити, що моделі четвертого і п'ятого рівнів не враховують вплив температури на характеристики приладів. Найбільш оптимальною для дослідження МОН-транзисторів з довжиною каналу менше 1 мкм є модель BSIM3v3 (LEVEL = 49). Ця модель де-факто стала стандартом при моделюванні електронних ланцюгів з МОН транзисторами субмікронних розмірів. Вона враховує ефект насичення швидкості, а також інші явища, які спостерігаються в МОП-транзисторах з коротким каналом, використовуваних в сучасних HBIC.

5. Модель тиристора

Модель тиристора в програмі SPICE задана у вигляді підсхеми. Опис підсхеми починається директивою .SUBCKT і закінчується директивою .ENDS. Опис моделі тиристора типу 2N1596 на вхідній мові SPICE показано на рис. 7.7.

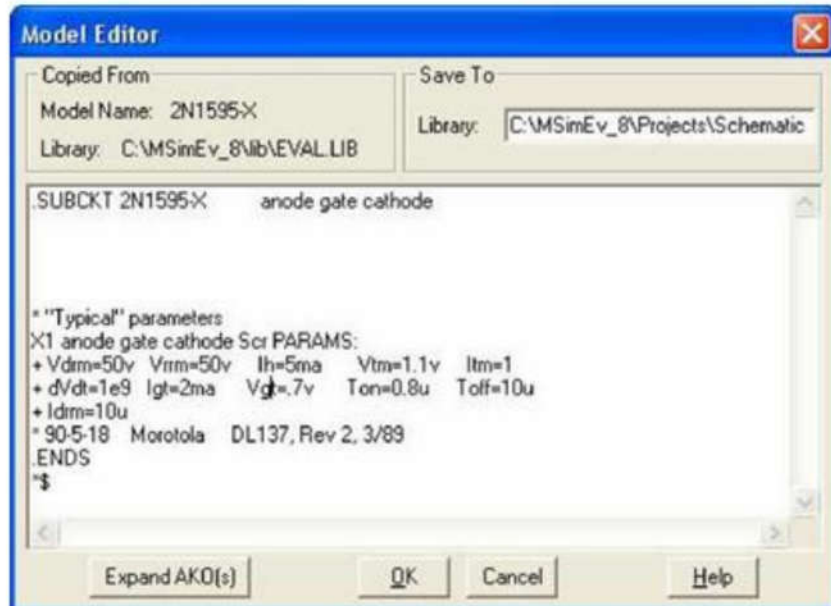


Рис. 7.7

Список основних параметрів моделі тиристора наведено в Додатку 7.4. Відзначимо, що модель, показана на рис. 7.7, є найпростішою. Вона не враховує багато параметрів, що визначають динамічну поведінку тиристора. Більш складні моделі тиристора а також приклад моделювання розглянуті в [7].

6. Моделі пасивних компонентів

Повітряний трансформатор. Модель повітряного трансформатора являє систему індуктивно пов'язаних катушок. Магнітну зв'язок між катушками враховує елемент K Linear з бібліотеки Analog.olb. У його атрибутих вказуються імена індуктивно пов'язаних катушок і значення коефіцієнта зв'язку Coupling. Коефіцієнт трансформації K визначається виразом

$$K = \sqrt{L_1/L_2} .$$

Для обліку індуктивностей розсіювання обмоток необхідно включити індуктивні елементи послідовно з обмотками трансформатора.

Магнітне осердя. У програмі Pspice використовується модель магнітного сердечника Джилса-Атертон. З її допомогою можна врахувати початкову і залишкову намагніченість осердя, коерцитивної сили, намагніченість насилення.

Параметри моделі магнітного сердечника наведені в табл. 7.6.
додатки 7.5

Параметри AREA, PATH, GAP, PACK визначаються геометричними розмірами сердечника. Інші параметри залежать від властивостей використовуваного магнітного матеріалу.

Детальний опис математичної моделі магнітного сердечника і методика визначення параметрів моделі за експериментальними даними наведені в [1].

Трансформатор з магнітним сердечником. Модель трансформатора з магнітним сердечником будується на основі моделі сердечника. Обмотки трансформатора характеризуються не величиною індуктивності обмоток, а числом витків. Коефіцієнт трансформації між обмотками визначається як відношення кількості витків первинної і вторинної обмоток.

Модель довгої лінії. Схема заміщення лінії передачі без втрат показана на рис. 7.8. Список параметрів моделі наведено в табл. 7.7 Додатки 7.5.

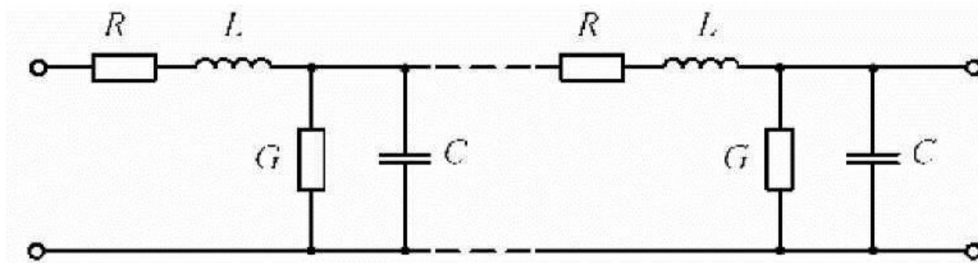


Рис. 7.8

Електрична довжина лінії NL на частоті f визначається формулою

$$NL = L/\lambda .$$

Тут L - геометричесна довжина, λ - довжина хвилі в лінії. За замовчуванням $NL = 0.25$.

Схема заміщення лінії передачі з втратами показана на рис. 7.9.

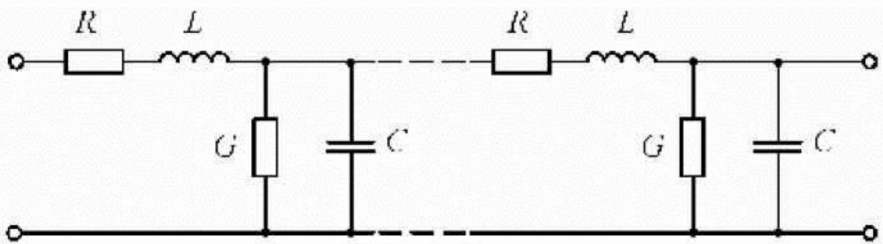


Рис. 7.9

Схема заміщення лінії з втратами характеризується параметрами, наведеними в табл. 7.8.

Довжину лінії можна вказувати в будь-яких одиницях, наприклад в кілометрах. При цьому необхідно відповідним чином перерахувати значення погонних параметрів.

Лінія передачі з втратами при $R=G=0$ і $LEN = 1$ м еквівалентна ідеальної лінії з хвильовим опором $Z_0 = \sqrt{L/C}$ і часом затримки $t_D = LEN\sqrt{LC}$

7. Макромоделі операційних підсилювачів

Моделі, розглянуті вище, відносяться до одиночних компонентів. Моделі аналогових IC, таких як операційні підсилювачі або компаратори, в програмі SPICE представлені у вигляді подсхем, званих макромоделі. На вхідній мові SPICE макромоделі описуються директивою .SUBCKT.

Інтегральні схеми можуть бути проаналізовані на рівні окремих компонентів (транзисторів, діодів і т.д.). Однак на практиці це дуже незручно. Типовий ОП містить 20-30 транзисторів. Якщо кожен транзистор замінити моделлю Еберса-Молла, що містить 11 елементів, аналізуемая ланцюг буде містити кілька сот компонентів. До того ж параметри транзисторів інтегральної схеми в більшості випадків невідомі. Тому набагато зручніше використовувати макромоделі, що характеризують поведінку пристрою щодо його зовнішніх затискачів.

Найпростіша модель ОП представляє джерело напруги, керований напругою (ДНКН).

Більш складна модель, що враховує нелінійність передавальної характеристики ОП і частотну залежність коефіцієнта посилення і вхідного опору, показана на рис. 7.10.

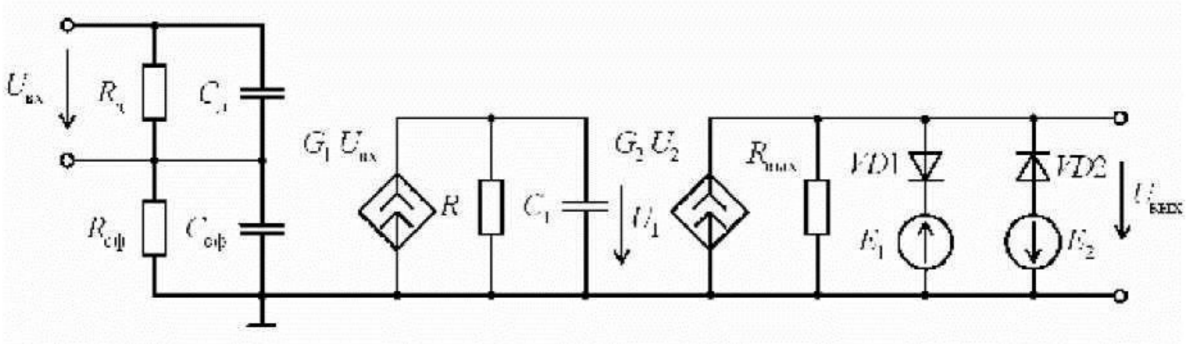


Рис. 7.10

Діоди VD1 і VD2 імітують нелінійність передавальної характеристики. Джерела E1 і E2 призначенні для подачі замикаючих напружень на діоди. Опору R_d і R_c враховують вхідний опір ОП для диференційного і синфазного сигналів.

Ємнісні елементи враховують частотні залежності параметрів ОП. Елементи C_d і C_c, включені паралельно вхідним резисторам, моделюють залежність вхідних опорів від частоти. За допомогою C₁ враховується частотна залежність коефіцієнта передачі ОП:

$$K(j\omega) = \frac{K_0}{1 + j\omega/\omega_1}$$

Тут K₀ - коефіцієнт підсилення ОП по постійному струму; частота $\omega_1 = 1/RC$ називається частотою домінантного полюса.

Бібліотека EVAL програми Pspice містить макромоделі ОП, що враховують ефекти, що спостерігаються в реальних приладах.

Макромодель ОП $\mu A741$ показана на рис. 7.11. В схемі виключені всі транзистори, крім вхідних. Такий компроміс дозволив створити макромодель, що забезпечує мінімальний час моделювання.

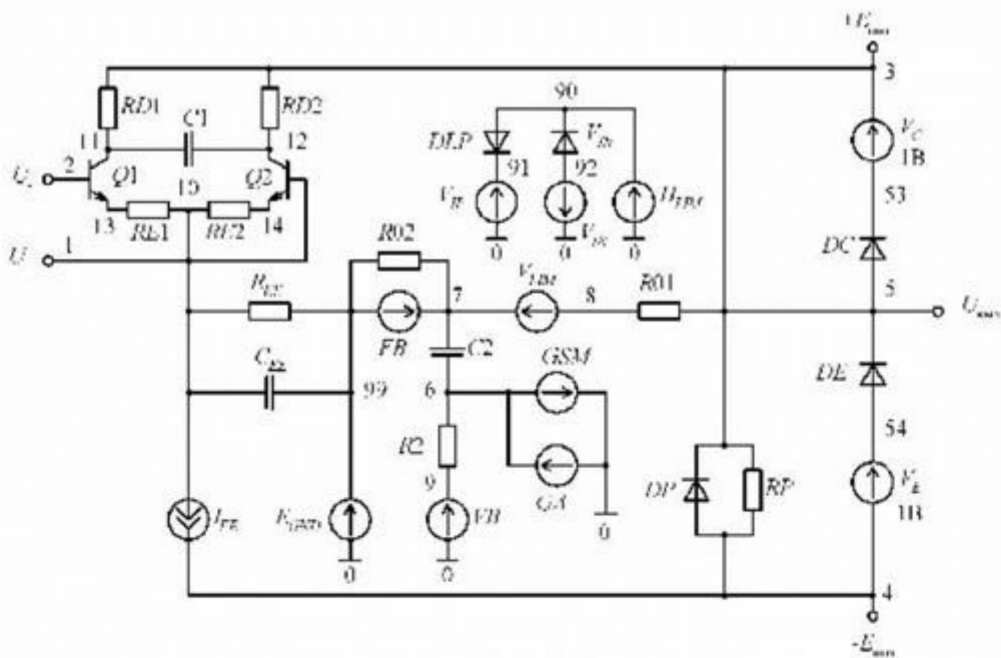


Рис. 7.11

Детальніше структура SPICE-моделей розглянута в [1].

Бібліотека моделей електронних компонентів постійно розширяється і вдосконалюється. Фірми-виробники приділяють велику увагу розробці нових моделей електронних пристройів.

На закінчення відзначимо, що сучасні програми схемотехнічного моделювання мають будовані редактори моделей, що дозволяють коригувати параметри моделей або створювати нові. Однак самостійне створення моделі компонента представляє дуже непросте завдання. Для цього потрібні висока кваліфікація і детальне знання принципів роботи пристрою. Відзначимо також, що паспортні дані пристройів не містять достатньої інформації для визначення всіх параметрів моделі.

Для отримання SPICE-моделей нових компонентів краще звернутися на сайти фірм-розробників.

5. Висновки

1. Електронні компоненти в програмах комп'ютерного моделювання представляються у вигляді схем заміщення або моделей.
2. Моделі електронних компонентів розроблялися стосовно до програми SPICE, тому їх часто називають SPICE-моделями.

3. Електронні компоненти в програмах комп'ютерного моделювання представляються у вигляді схем заміщення або моделей Сучасні програми схемотехнічного моделювання має вбудовані моделі для більшості електронних компонентів..

Додатки
Додаток 7.1.
Таблиця 7.1

Параметри моделі диода

Ім'я параметра в моделі	Обозначення в тексте	Параметр	Значення по умолчанию
IS	I_0	Ток насыщення при температурі $27^{\circ}C$	10^{-14} А
N	n	Коєфіцієнт емісії	1
RS	R_s	Объемне сопротивлення, Ом	0
VJ	ϕ_0	Контактна разноть потенціалов	1 В
CJ0	C_{j0}	Бар'єрна емкость, Φ	0
TT	τ_r	Время переноса заряда, сек.	0
BV		Напряження пробоя, В	
IBV		Начальний ток пробоя, соответствуючий напряженню пробоя	10^{-10} А

Примітка. Список параметрів моделі діода, наведений в таблиці, є неповним. Повний опис моделей компонентів, а також формули для розрахунку параметрів наведені в [1, 3].

Додаток 7.2

Параметри моделі біполярного транзистора

Таблиця 7.2

Ім'я параметра в моделі	Обозначення в тексте	Параметр	Значення по умолчанию
IS	I_0	Ток насыщення при температурі $27^\circ C$, А	10^{-16}
BF	β	Ідеальний коефіцієнт усилення тока в схеме з ОЭ (без учета токов утечки).	
BR	β_F	Ідеальний коефіцієнт усилення тока в схеме з ОЭ (в інверсному режимі)	
NF	n_F	Коефіцієнт емісії	1
NR	n_R	Коефіцієнт емісії в інверсному режимі	
VAF		Напруження Эрлі в активному режимі	∞
VAR		Напруження Эрлі в інверсному режимі	∞
RB		Об'ємне сопротивлення бази, Ом	0
RC	R_s	Об'ємне сопротивлення колектора, Ом	0
RE		Об'ємне сопротивлення еміттера, Ом	0
TF		Время переноса заряда через базу в активному режимі, сек	0
TR		Время переноса заряда через базу в інверсному режимі, сек	0
CJC	C_{j0}	Емкость коллекторного перехода, пФ	0
MJC	τ_r	Коефіцієнт, учитиваючий плавність коллекторного перехода	0.33
VJC		Контактна разниця потенціалів коллекторного перехода, В	0.75
CJE		Емкость еміттерного перехода, пФ	0
MJE		Коефіцієнт, учитиваючий плавність еміттерного перехода	0.33
VJE		Контактна разница потенциалов еміттерного перехода, В	
CJS		Емкость коллектор-подложка, Ф	0
MJS		Коефіцієнт, учитиваючий плавність перехода коллектор-подложка	0
VJS		Контактна разница потенциалов перехода коллектор-подложка, В	0.75

Параметры транзистора Q2N3904

Таблиця 7.3.

Имя параметра в модели	Значение
IS	6.734f
BF	416.4
BR	0.7371
NF	1
NR	
VAF	74.03
VAR	∞
RB	10
RC	1
RE	0
TF	301.2p0
TR	239.5n
CJC	3.638p
MJC	0.3085
VJC	0.75
CJE	4.493p
MJE	0.2593
VJE	0.75
VJS	0.75

Додаток 7.3

Таблиця 7.4.

Параметри моделей МОП-транзисторів

Ім'я параметра в моделі	Обозначення в тексті	Параметр	Значення по умолчанию
LEVEL		Уровень моделі	1
TOX	t_{ox}	Толщина слоя оксида	1
COX	C_{ox}	Удельна емкість, Ом	0
U0	μ	Коєфіцієнт, учитуваючий подвижність носителів в каналі, $\text{см}^2/\text{В}\cdot\text{с}$	600
KP	k'	Параметр уделньої крутизни	$2 \cdot 10^{-5}$
LAMBDA	λ	Коєфіцієнт модуляції длини каналі, $1/\text{В}$	0
VT0	U_0	Порогове напруження, В	1
GAMMA	γ	Коєфіцієнт впливу потенціала підложки на порогове напруження, $B^{1/2}$	Вираховується
NSUB	N_A, N_D	Уровень легірування підложки	
PHI	$2\Phi_f$	Поверхностний потенціал інверсії, В	0.6
JS		Плотність тока насыщення перехода сток (істок) – підложка, $\text{А}/\text{м}^2$	
CJ		Удельна емкість перехода сток (істок) – підложка при нулевому смещенні, $\text{Ф}/\text{м}^2$	0
MJ		Коєфіцієнт, учитуваючий плавність перехода сток (істок) – підложка	0.5
CJSW		Удельна емкість бокової поверхні перехода сток (істок) – підложка при нулевому смещенні, $\text{Ф}/\text{м}$	0
PB	V_0	Напруження інверсії приповерхностного слоя підложки, В	0.8
LD	L_{ov}	Длина області бокової дифузії, м	0
WD		Ширина області бокової дифузії, м	0
CGBO		Удельна емкість перекриття затвор-підложка, $\text{Ф}/\text{м}$	0
CGDO		Удельна емкість перекриття затвор-сток, $\text{Ф}/\text{м}$	0
CGSO		Удельна емкість перекриття затвор-істок, $\text{Ф}/\text{м}$	0

Додаток 7.4

Таблиця 7.5.

Параметри моделі тиристора

Ім'я параметра в моделі	Обозначення в тексте	Параметр
Vdsm	U_{dsm}	Неповторяющееся импульсное напряжение в открытом состоянии, В
Vrsm	U_{rsm}	Неповторяющееся импульсное напряжение в открытом состоянии, В
Vdrm	U_{dsm}	Повторяющееся импульсное напряжение в открытом состоянии, В
Vrrm		Допустимое обратное напряжение, В
Vtm		Напряжение в открытом состоянии, В
Itm		Номинальный ток, А
dVdt		Критическая скорость нарастания прямого напряжения, В/мкс.
Igt		Отпирающий ток управляющего электрода, мА
Toff		Время авыключения, мкс

Додаток 7.5

Таблиця 7.6.

Параметри моделі магнітного сердечника

Ім'я	Параметр, размерноть	
A	Параметр форми безгистерезисної кривої намагничування, А/м	10^3
AREA	Площа поперечного сечення магнітопровода, см ²	0.1
C	Постоянна упругого смещения доменних границ	0.2
GAP	Ширина воздушного зазора, см	0
K	Коєфіцієнт, учитуваючий подвижність доменов, А/м	500
MS	Намагніченість насыщення, А/м	10^6
PACK	Коєфіцієнт заповнення сердечника	1
PATH	Средня длина магнітної силової лінії, см	1

Примітка. Параметри AKEA, PATH, GAP, PACK визначаються геометричними розмірами сердечника. Інші параметри залежать від властивостей використовуваного магнітного матеріалу.

Таблиця 7.7.

Параметри моделі дільниці лінії

Ім'я параметра	Обозначені в тексті	Параметр	Значення по умолчанию
Z0		Волновое сопротивление линии, Ом	—
TD		Время задержки сигнала, сек	—
F	f	Частота для расчета электрической длины линии NL	—
NL		Электрическая длина линии на частоте F	0.25
IC		Начальные условия (значения напряжений и токов)	—

Таблиця 7.8.

Параметры модели линии с потерями

Имя параметра	Обозначение в тексте	Параметр
R	R	Погонное сопротивление, Ом/м
L	L	Погонная индуктивность, Гн/м
G	G	Погонная проводимость, См/м
C	C	Погонная емкость, Ф/м
LEN	LEN	Длина линии